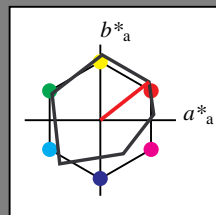


### Eingabe: Farbmetrisches Offset-Refektiv-System ORS18

für Buntton  $h^* = lab^*h = 38/360 = 0.106$   
 $lab^*tch$  und  $lab^*nch$

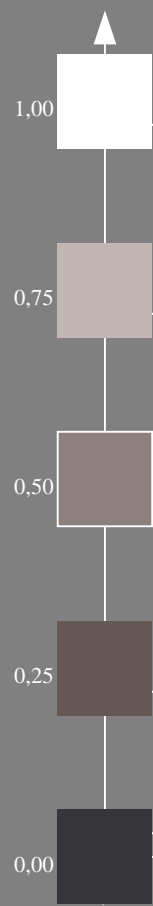
D65: Buntton O  
LCH\*Ma: 48 82 38  
olv\*Ma: 1.0 0.0 0.0



#### ORS18; adaptierte CIELAB-Daten

	$L^*=L_a^*$	$a_a^*$	$b_a^*$	$C_{ab,a}^*$	$h_{ab,a}^*$
O <sub>m</sub>	47.94	64.42	50.58	81.9	38
Y <sub>m</sub>	92.62	2.41	86.36	86.39	88
L <sub>m</sub>	50.9	-63.82	35.02	72.81	151
C <sub>m</sub>	51.25	-53.68	-57.69	78.82	227
V <sub>m</sub>	25.72	30.34	-44.37	53.76	304
M <sub>m</sub>	56.25	70.59	7.57	70.99	6
N <sub>m</sub>	18.11	0.0	0.0	0.0	0
W <sub>m</sub>	95.6	0.0	0.0	0.0	0
R <sub>CIE</sub>	47.79	60.85	41.08	73.41	34
J <sub>CIE</sub>	83.82	6.52	66.9	67.22	84
G <sub>CIE</sub>	49.0	-36.83	2.78	36.95	176
B <sub>CIE</sub>	25.14	-18.35	-56.22	59.15	252

Dreiecks-Helligkeit  $t^*$



%Umfang

$u_{rel}^* = 96$

%Regularität

$g_{H,rel}^* = -385$

$g_{C,rel}^* = 62$

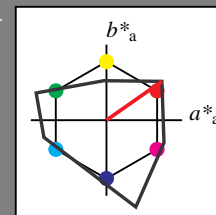
SG200-7, 5 stufige Reihen für konstanten CIELAB Buntton  $38/360 = 0.106$  (links)



### Ausgabe: Farbmetrisches Fernseh-Licht-System TLS00

für Buntton  $h^* = lab^*h = 35/360 = 0.097$   
 $LAB^*LCH$ ,  $LAB^*NCH$

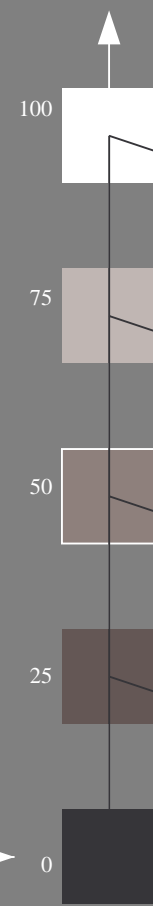
D65: Buntton O  
LCH\*Ma: 66 90 35  
olv\*Ma: 1.0 0.0 0.0



#### TLS00; adaptierte CIELAB-Daten

	$L^*=L_a^*$	$a_a^*$	$b_a^*$	$C_{ab,a}^*$	$h_{ab,a}^*$
O <sub>m</sub>	65.56	73.34	51.39	89.55	35
Y <sub>m</sub>	94.78	-3.49	52.24	52.36	94
L <sub>m</sub>	77.48	-92.97	36.0	99.71	159
C <sub>m</sub>	78.36	-82.69	-22.74	85.77	195
V <sub>m</sub>	12.55	38.81	-114.81	121.2	289
M <sub>m</sub>	66.71	76.08	-29.8	81.71	339
N <sub>m</sub>	0.01	0.0	0.0	0.0	0
W <sub>m</sub>	95.41	0.0	0.0	0.0	0
R <sub>CIE</sub>	47.79	61.74	42.56	74.99	35
J <sub>CIE</sub>	83.82	7.06	70.78	71.13	84
G <sub>CIE</sub>	49.0	-35.95	4.34	36.22	173
B <sub>CIE</sub>	25.14	-17.24	-56.24	58.84	253

CIELAB-Helligkeit  $L^*$



%Umfang

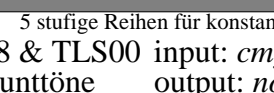
$u_{rel}^* = 141$

%Regularität

$g_{H,rel}^* = 39$

$g_{C,rel}^* = 43$

5 stufige Reihen für konstanten CIELAB Buntton  $35/360 = 0.097$  (rechts)



BAM-Prüfvorlage SG20; Farbmetrik-Systeme ORS18 & TLS00 input:  $cmY0^* setcmykcolor$

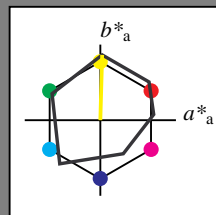
A: Koordinatensysteme; 5stufige Farbreihen für 10 Bunttöne

output: no change compared to input

Eingabe: Farbmimetrisches Offset-Reflektiv-System ORS18

für Buntton  $h^* = lab^*h = 88/360 = 0.246$   
 $lab^*tch$  und  $lab^*nch$

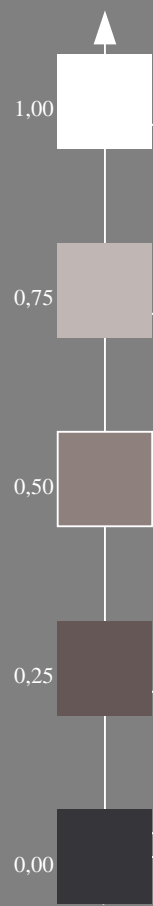
D65: Buntton Y  
LCH\*Ma: 93 86 88  
olv\*Ma: 1.0 1.0 0.0



ORS18; adaptierte CIELAB-Daten

	$L^*=L^*_a$	$a^*_a$	$b^*_a$	$C^*_{ab,a}$	$h^*_{ab,a}$
O <sub>m</sub>	47.94	64.42	50.58	81.9	38
Y <sub>m</sub>	92.62	2.41	86.36	86.39	88
L <sub>m</sub>	50.9	-63.82	35.02	72.81	151
C <sub>m</sub>	51.25	-53.68	-57.69	78.82	227
V <sub>m</sub>	25.72	30.34	-44.37	53.76	304
M <sub>m</sub>	56.25	70.59	7.57	70.99	6
N <sub>m</sub>	18.11	0.0	0.0	0.0	0
W <sub>m</sub>	95.6	0.0	0.0	0.0	0
R <sub>CIE</sub>	47.79	60.85	41.08	73.41	34
J <sub>CIE</sub>	83.82	6.52	66.9	67.22	84
G <sub>CIE</sub>	49.0	-36.83	2.78	36.95	176
B <sub>CIE</sub>	25.14	-18.35	-56.22	59.15	252

Dreiecks-Helligkeit  $t^*$



%Umfang

$u^*_{rel} = 96$

%Regularität

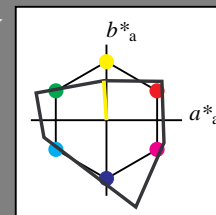
$g^*_{H,rel} = -385$

$g^*_{C,rel} = 62$

Ausgabe: Farbmimetrisches Fernseh-Licht-System TLS00

für Buntton  $h^* = lab^*h = 94/360 = 0.261$   
 $LAB^*LCH$ ,  $LAB^*NCH$

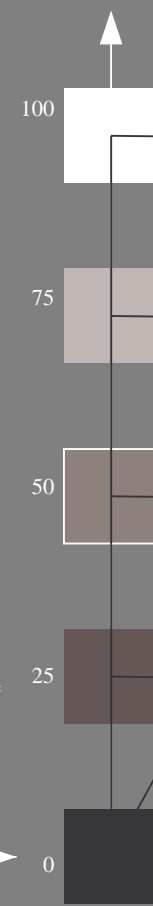
D65: Buntton Y  
LCH\*Ma: 95 52 94  
olv\*Ma: 1.0 1.0 0.0



TLS00; adaptierte CIELAB-Daten

	$L^*=L^*_a$	$a^*_a$	$b^*_a$	$C^*_{ab,a}$	$h^*_{ab,a}$
O <sub>m</sub>	65.56	73.34	51.39	89.55	35
Y <sub>m</sub>	94.78	-3.49	52.24	52.36	94
L <sub>m</sub>	77.48	-92.97	36.0	99.71	159
C <sub>m</sub>	78.36	-82.69	-22.74	85.77	195
V <sub>m</sub>	12.55	38.81	-114.81	121.2	289
M <sub>m</sub>	66.71	76.08	-29.8	81.71	339
N <sub>m</sub>	0.01	0.0	0.0	0.0	0
W <sub>m</sub>	95.41	0.0	0.0	0.0	0
R <sub>CIE</sub>	47.79	61.74	42.56	74.99	35
J <sub>CIE</sub>	83.82	7.06	70.78	71.13	84
G <sub>CIE</sub>	49.0	-35.95	4.34	36.22	173
B <sub>CIE</sub>	25.14	-17.24	-56.24	58.84	253

CIELAB-Helligkeit  $L^*$



%Umfang

$u^*_{rel} = 141$

%Regularität

$g^*_{H,rel} = 39$

$g^*_{C,rel} = 43$

Schwarzheit  $n^*$

Schwarzheit  $n^*$

SG200-7, 5 stufige Reihen für konstanten CIELAB Buntton 88/360 = 0.246 (links)

5 stufige Reihen für konstanten CIELAB Buntton 94/360 = 0.261 (rechts)

BAM-Prüfvorlage SG20; Farbmimetrik-Systeme ORS18 & TLS00 input:  $cmY0^* setcmykcolor$

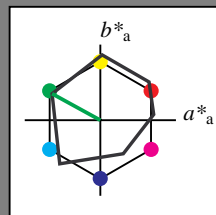
A: Koordinatensysteme; 5stufige Farbreihen für 10 Bunttöne

output: no change compared to input

### Eingabe: Farbmimetrisches Offset-Reflektiv-System ORS18

für Buntton  $h^* = lab^*h = 151/360 = 0.42$   
 $lab^*tch$  und  $lab^*nch$

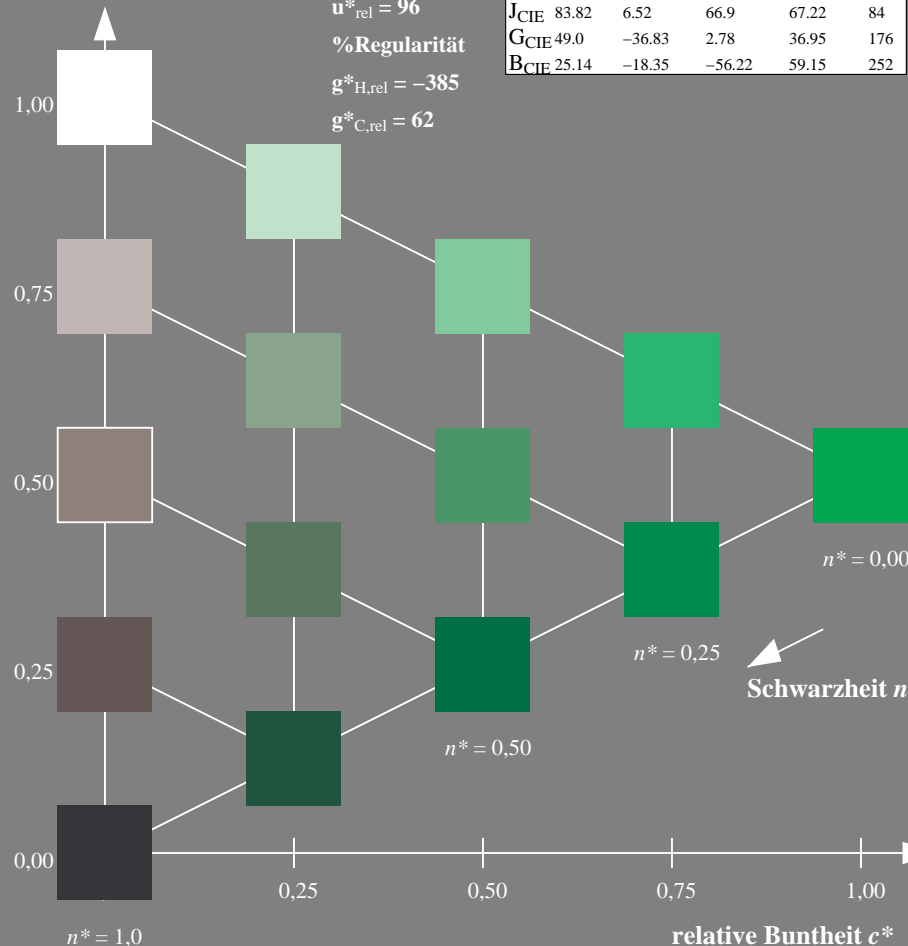
D65: Buntton L  
LCH\*Ma: 51 73 151  
olv\*Ma: 0.0 1.0 0.0



ORS18; adaptierte CIELAB-Daten					
	$L^*=L^*_a$	$a^*_a$	$b^*_a$	$C^*_{ab,a}$	$h^*_{ab,a}$
O <sub>m</sub>	47.94	64.42	50.58	81.9	38
Y <sub>m</sub>	92.62	2.41	86.36	86.39	88
L <sub>m</sub>	50.9	-63.82	35.02	72.81	151
C <sub>m</sub>	51.25	-53.68	-57.69	78.82	227
V <sub>m</sub>	25.72	30.34	-44.37	53.76	304
M <sub>m</sub>	56.25	70.59	7.57	70.99	6
N <sub>m</sub>	18.11	0.0	0.0	0.0	0
W <sub>m</sub>	95.6	0.0	0.0	0.0	0
R <sub>CIE</sub>	47.79	60.85	41.08	73.41	34
J <sub>CIE</sub>	83.82	6.52	66.9	67.22	84
G <sub>CIE</sub>	49.0	-36.83	2.78	36.95	176
B <sub>CIE</sub>	25.14	-18.35	-56.22	59.15	252

Dreiecks-Helligkeit  $t^*$

%Umfang  
 $u^*_{rel} = 96$   
%Regularität  
 $g^*_{H,rel} = -385$   
 $g^*_{C,rel} = 62$



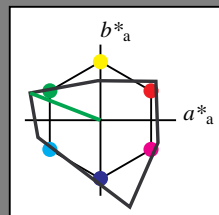
SG200-7, 5 stufige Reihen für konstanten CIELAB Buntton 151/360 = 0.42 (links)

BAM-Prüfvorlage SG20; Farbmimetrik-Systeme ORS18 & TLS00  
A: Koordinatensysteme; 5stufige Farbreihen für 10 Bunttöne

### Ausgabe: Farbmimetrisches Fernseh-Licht-System TLS00

für Buntton  $h^* = lab^*h = 159/360 = 0.441$   
 $LAB^*LCH$ ,  $LAB^*NCH$

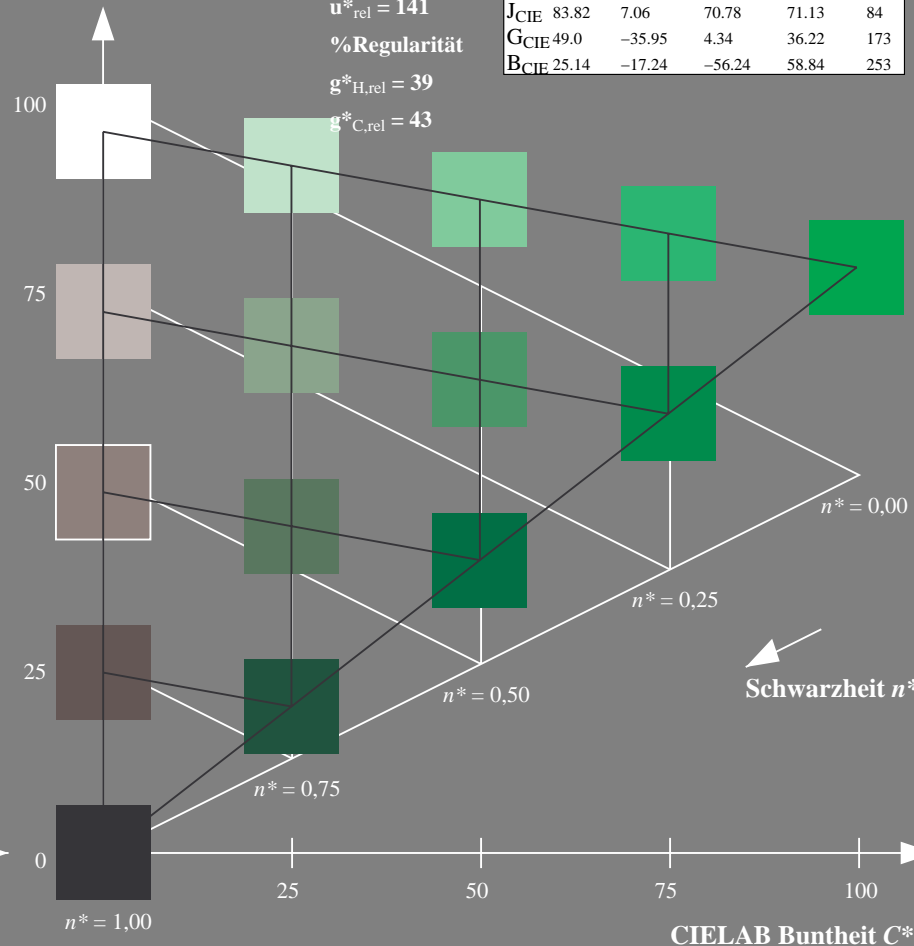
D65: Buntton L  
LCH\*Ma: 77 100 159  
olv\*Ma: 0.0 1.0 0.0



TLS00; adaptierte CIELAB-Daten					
	$L^*=L^*_a$	$a^*_a$	$b^*_a$	$C^*_{ab,a}$	$h^*_{ab,a}$
O <sub>m</sub>	65.56	73.34	51.39	89.55	35
Y <sub>m</sub>	94.78	-3.49	52.24	52.36	94
L <sub>m</sub>	77.48	-92.97	36.0	99.71	159
C <sub>m</sub>	78.36	-82.69	-22.74	85.77	195
V <sub>m</sub>	12.55	38.81	-114.81	121.2	289
M <sub>m</sub>	66.71	76.08	-29.8	81.71	339
N <sub>m</sub>	0.01	0.0	0.0	0.0	0
W <sub>m</sub>	95.41	0.0	0.0	0.0	0
R <sub>CIE</sub>	47.79	61.74	42.56	74.99	35
J <sub>CIE</sub>	83.82	7.06	70.78	71.13	84
G <sub>CIE</sub>	49.0	-35.95	4.34	36.22	173
B <sub>CIE</sub>	25.14	-17.24	-56.24	58.84	253

CIELAB-Helligkeit  $L^*$

%Umfang  
 $u^*_{rel} = 141$   
%Regularität  
 $g^*_{H,rel} = 39$   
 $g^*_{C,rel} = 43$



5 stufige Reihen für konstanten CIELAB Buntton 159/360 = 0.441 (rechts)

input:  $cmY0^* setcmykcolor$   
output: no change compared to input

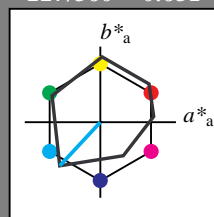
Eingabe: Farbmetrisches Offset-Reflektiv-System ORS18

für Buntton  $h^* = lab^*h = 227/360 = 0.631$   
 $lab^*tch$  und  $lab^*nch$

D65: Buntton C  
LCH\*Ma: 51 79 227  
olv\*Ma: 0.0 1.0 1.0

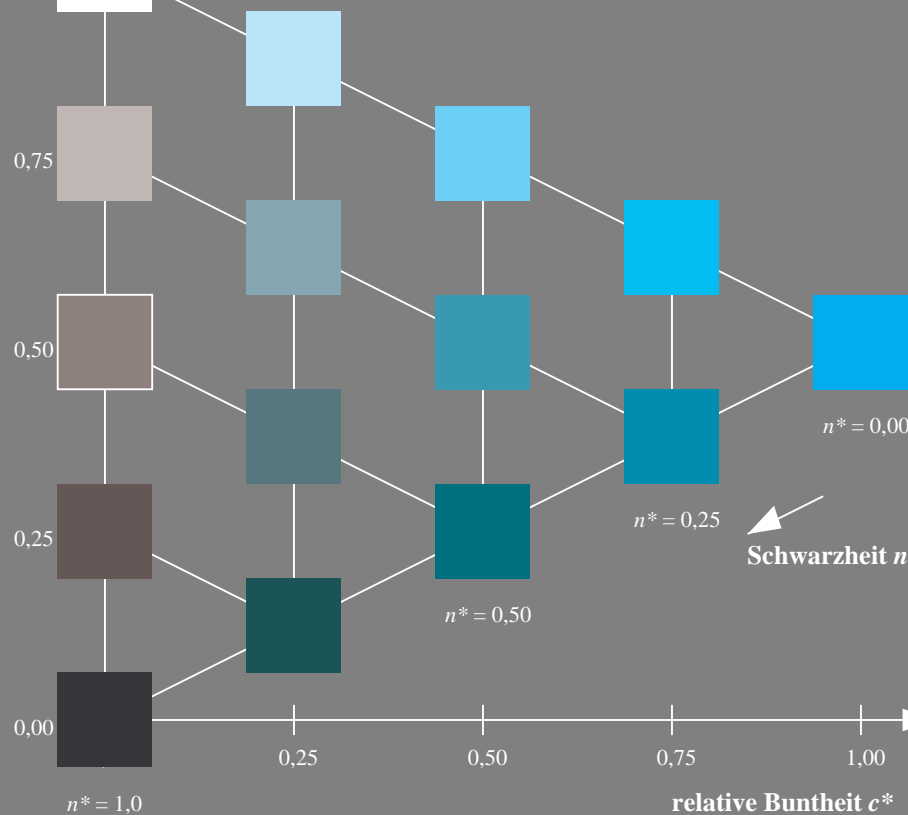
ORS18; adaptierte CIELAB-Daten

	$L^*=L^*_a$	$a^*_a$	$b^*_a$	$C^*_{ab,a}$	$h^*_{ab,a}$
$O_m$	47.94	64.42	50.58	81.9	38
$Y_m$	92.62	2.41	86.36	86.39	88
$L_m$	50.9	-63.82	35.02	72.81	151
$C_m$	51.25	-53.68	-57.69	78.82	227
$V_m$	25.72	30.34	-44.37	53.76	304
$M_m$	56.25	70.59	7.57	70.99	6
$N_m$	18.11	0.0	0.0	0.0	0
$W_m$	95.6	0.0	0.0	0.0	0
$R_{CIE}$	47.79	60.85	41.08	73.41	34
$J_{CIE}$	83.82	6.52	66.9	67.22	84
$G_{CIE}$	49.0	-36.83	2.78	36.95	176
$B_{CIE}$	25.14	-18.35	-56.22	59.15	252



Dreiecks-Helligkeit  $t^*$

%Umfang  
 $u^*_{rel} = 96$   
%Regularität  
 $g^*_{H,rel} = -385$   
 $g^*_{C,rel} = 62$



SG200-7, 5 stufige Reihen für konstanten CIELAB Buntton 227/360 = 0.631 (links)

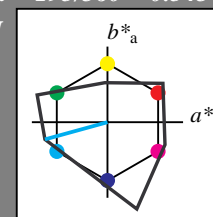
Ausgabe: Farbmetrisches Fernseh-Licht-System TLS00

für Buntton  $h^* = lab^*h = 195/360 = 0.543$   
 $LAB^*LCH$ ,  $LAB^*NCH$

D65: Buntton C  
LCH\*Ma: 78 86 195  
olv\*Ma: 0.0 1.0 1.0

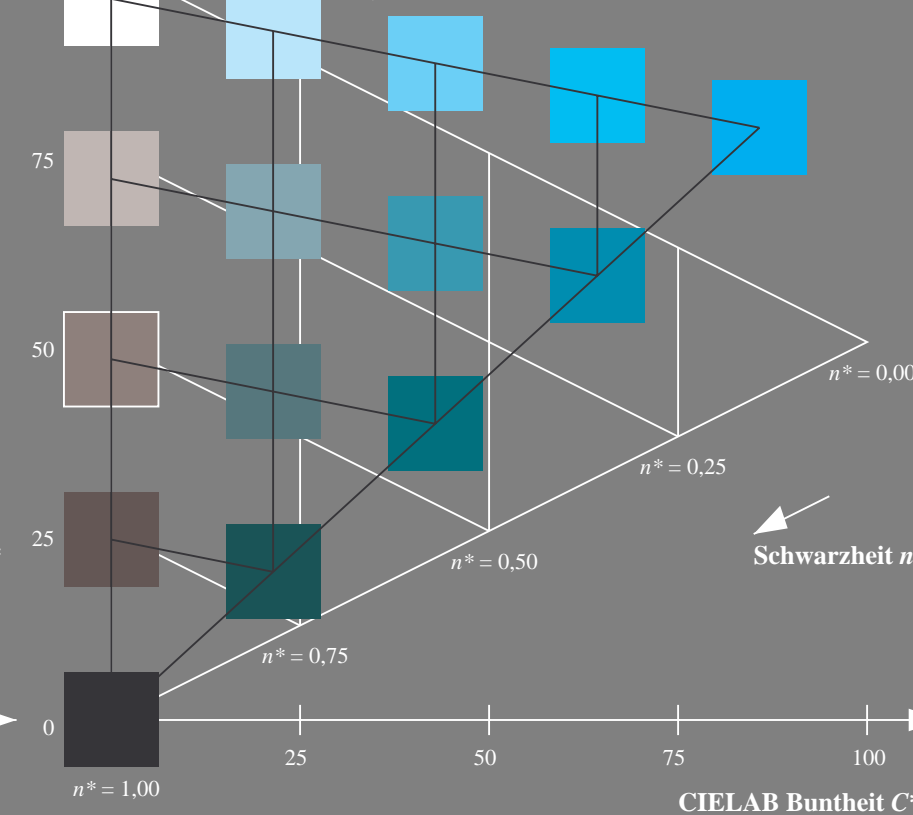
TLS00; adaptierte CIELAB-Daten

	$L^*=L^*_a$	$a^*_a$	$b^*_a$	$C^*_{ab,a}$	$h^*_{ab,a}$
$O_m$	65.56	73.34	51.39	89.55	35
$Y_m$	94.78	-3.49	52.24	52.36	94
$L_m$	77.48	-92.97	36.0	99.71	159
$C_m$	78.36	-82.69	-22.74	85.77	195
$V_m$	12.55	38.81	-114.81	121.2	289
$M_m$	66.71	76.08	-29.8	81.71	339
$N_m$	0.01	0.0	0.0	0.0	0
$W_m$	95.41	0.0	0.0	0.0	0
$R_{CIE}$	47.79	61.74	42.56	74.99	35
$J_{CIE}$	83.82	7.06	70.78	71.13	84
$G_{CIE}$	49.0	-35.95	4.34	36.22	173
$B_{CIE}$	25.14	-17.24	-56.24	58.84	253



CIELAB-Helligkeit  $L^*$

%Umfang  
 $u^*_{rel} = 141$   
%Regularität  
 $g^*_{H,rel} = 39$   
 $g^*_{C,rel} = 43$



5 stufige Reihen für konstanten CIELAB Buntton 195/360 = 0.543 (rechts)

BAM-Prüfvorlage SG20; Farbmetrik-Systeme ORS18 & TLS00 input:  $cmY0^* setcmykcolor$

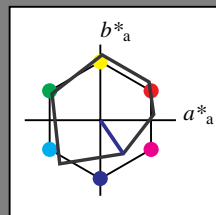
A: Koordinatensysteme; 5stufige Farbreihen für 10 Bunttöne

output: no change compared to input

Eingabe: Farbmetrisches Offset-Reflektiv-System ORS18

für Buntton  $h^* = lab^*h = 304/360 = 0.845$   
 $lab^*tch$  und  $lab^*nch$

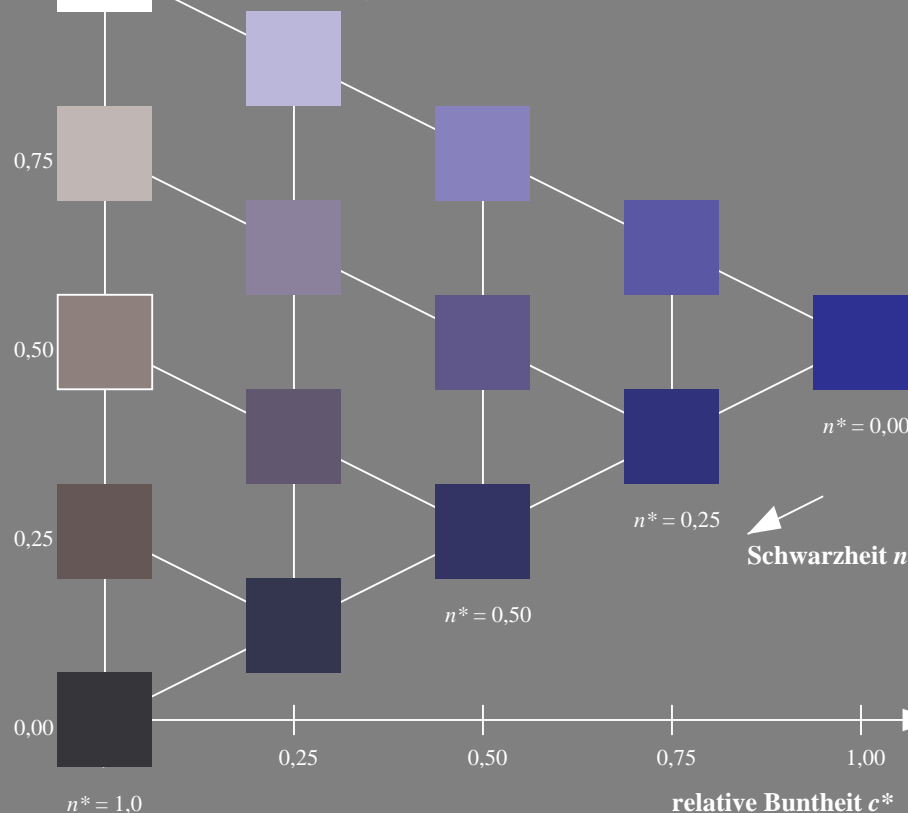
D65: Buntton V  
LCH\*Ma: 26 54 304  
olv\*Ma: 0.0 0.0 1.0



ORS18; adaptierte CIELAB-Daten					
	$L^*=L^*_a$	$a^*_a$	$b^*_a$	$C^*_{ab,a}$	$h^*_{ab,a}$
O <sub>m</sub>	47.94	64.42	50.58	81.9	38
Y <sub>m</sub>	92.62	2.41	86.36	86.39	88
L <sub>m</sub>	50.9	-63.82	35.02	72.81	151
C <sub>m</sub>	51.25	-53.68	-57.69	78.82	227
V <sub>m</sub>	25.72	30.34	-44.37	53.76	304
M <sub>m</sub>	56.25	70.59	7.57	70.99	6
N <sub>m</sub>	18.11	0.0	0.0	0.0	0
W <sub>m</sub>	95.6	0.0	0.0	0.0	0
R <sub>CIE</sub>	47.79	60.85	41.08	73.41	34
J <sub>CIE</sub>	83.82	6.52	66.9	67.22	84
G <sub>CIE</sub>	49.0	-36.83	2.78	36.95	176
B <sub>CIE</sub>	25.14	-18.35	-56.22	59.15	252

Dreiecks-Helligkeit  $t^*$

%Umfang  
 $u^*_{rel} = 96$   
%Regularität  
 $g^*_{H,rel} = -385$   
 $g^*_{C,rel} = 62$



SG200-7, 5 stufige Reihen für konstanten CIELAB Buntton 304/360 = 0.845 (links)

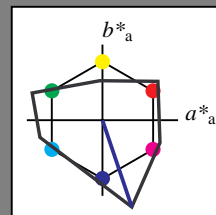
BAM-Prüfvorlage SG20; Farbmetrik-Systeme ORS18 & TLS00 input:  $cmY0^* setcmykcolor$

A: Koordinatensysteme; 5stufige Farbreihen für 10 Bunttöne

Ausgabe: Farbmetrisches Fernseh-Licht-System TLS00

für Buntton  $h^* = lab^*h = 289/360 = 0.802$   
 $LAB^*LCH$ ,  $LAB^*NCH$

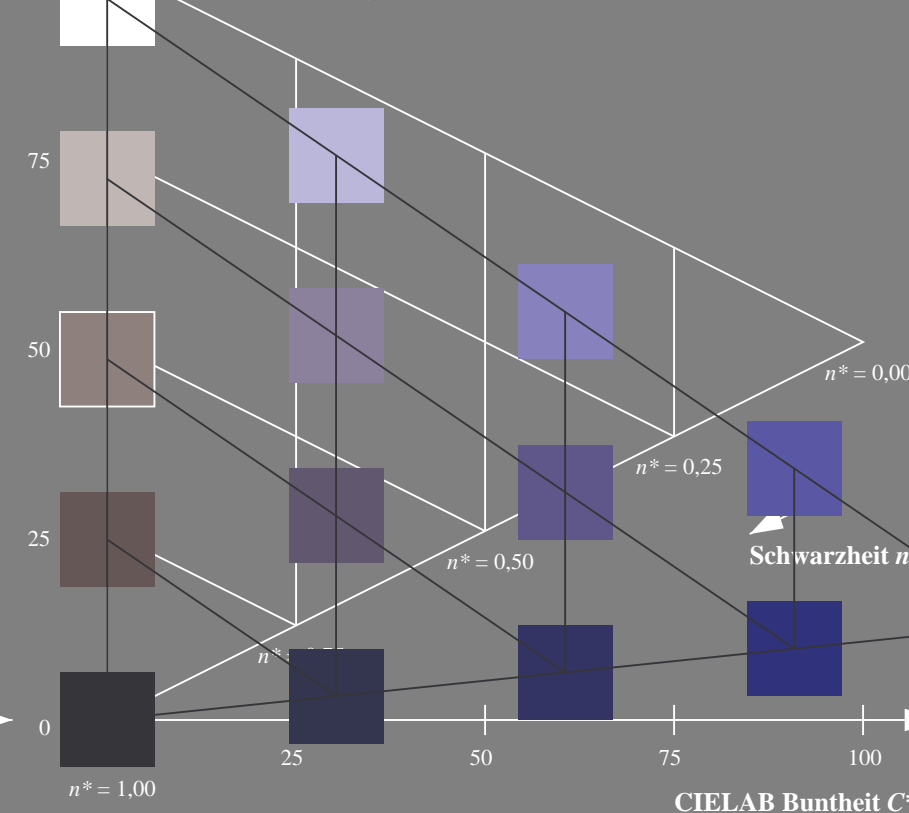
D65: Buntton V  
LCH\*Ma: 13 121 289  
olv\*Ma: 0.0 0.0 1.0



TLS00; adaptierte CIELAB-Daten					
	$L^*=L^*_a$	$a^*_a$	$b^*_a$	$C^*_{ab,a}$	$h^*_{ab,a}$
O <sub>m</sub>	65.56	73.34	51.39	89.55	35
Y <sub>m</sub>	94.78	-3.49	52.24	52.36	94
L <sub>m</sub>	77.48	-92.97	36.0	99.71	159
C <sub>m</sub>	78.36	-82.69	-22.74	85.77	195
V <sub>m</sub>	12.55	38.81	-114.81	121.2	289
M <sub>m</sub>	66.71	76.08	-29.8	81.71	339
N <sub>m</sub>	0.01	0.0	0.0	0.0	0
W <sub>m</sub>	95.41	0.0	0.0	0.0	0
R <sub>CIE</sub>	47.79	61.74	42.56	74.99	35
J <sub>CIE</sub>	83.82	7.06	70.78	71.13	84
G <sub>CIE</sub>	49.0	-35.95	4.34	36.22	173
B <sub>CIE</sub>	25.14	-17.24	-56.24	58.84	253

CIELAB-Helligkeit  $L^*$

%Umfang  
 $u^*_{rel} = 141$   
%Regularität  
 $g^*_{H,rel} = 39$   
 $g^*_{C,rel} = 43$



5 stufige Reihen für konstanten CIELAB Buntton 289/360 = 0.802 (rechts)

output: no change compared to input

Eingabe: Farbmetrisches Offset-Refektiv-System ORS18

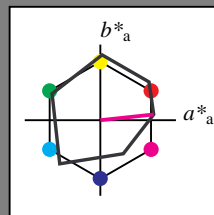
für Buntton  $h^* = lab^*h = 6/360 = 0.017$

$lab^*tch$  und  $lab^*nch$

D65: Buntton M

LCH\*Ma: 56 71 6

olv\*Ma: 1.0 0.0 1.0



ORS18; adaptierte CIELAB-Daten

	$L^*=L^*_a$	$a^*_a$	$b^*_a$	$C^*_{ab,a}$	$h^*_{ab,a}$
O <sub>m</sub>	47.94	64.42	50.58	81.9	38
Y <sub>m</sub>	92.62	2.41	86.36	86.39	88
L <sub>m</sub>	50.9	-63.82	35.02	72.81	151
C <sub>m</sub>	51.25	-53.68	-57.69	78.82	227
V <sub>m</sub>	25.72	30.34	-44.37	53.76	304
M <sub>m</sub>	56.25	70.59	7.57	70.99	6
N <sub>m</sub>	18.11	0.0	0.0	0.0	0
W <sub>m</sub>	95.6	0.0	0.0	0.0	0
R <sub>CIE</sub>	47.79	60.85	41.08	73.41	34
J <sub>CIE</sub>	83.82	6.52	66.9	67.22	84
G <sub>CIE</sub>	49.0	-36.83	2.78	36.95	176
B <sub>CIE</sub>	25.14	-18.35	-56.22	59.15	252

Dreiecks-Helligkeit  $t^*$

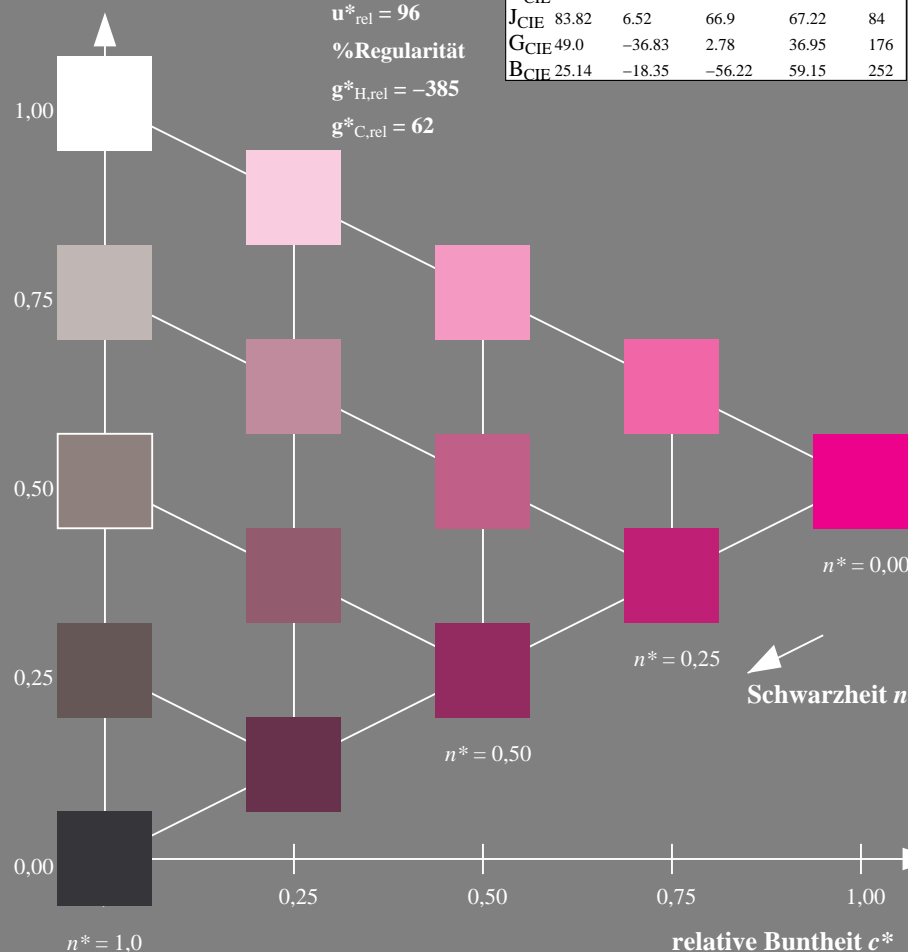
%Umfang

$u^*_{rel} = 96$

%Regularität

$g^*_{H,rel} = -385$

$g^*_{C,rel} = 62$



SG200-7, 5 stufige Reihen für konstanten CIELAB Buntton  $6/360 = 0.017$  (links)

BAM-Prüfvorlage SG20; Farbmetrik-Systeme ORS18 & TLS00 input:  $cmY0^* setcmykcolor$

A: Koordinatensysteme; 5stufige Farbreihen für 10 Bunttöne

Ausgabe: Farbmetrisches Fernseh-Licht-System TLS00

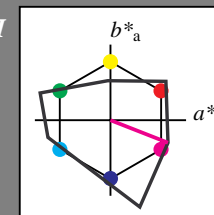
für Buntton  $h^* = lab^*h = 339/360 = 0.941$

$LAB^*LCH, LAB^*NCH$

D65: Buntton M

LCH\*Ma: 67 82 339

olv\*Ma: 1.0 0.0 1.0



TLS00; adaptierte CIELAB-Daten

	$L^*=L^*_a$	$a^*_a$	$b^*_a$	$C^*_{ab,a}$	$h^*_{ab,a}$
O <sub>m</sub>	65.56	73.34	51.39	89.55	35
Y <sub>m</sub>	94.78	-3.49	52.24	52.36	94
L <sub>m</sub>	77.48	-92.97	36.0	99.71	159
C <sub>m</sub>	78.36	-82.69	-22.74	85.77	195
V <sub>m</sub>	12.55	38.81	-114.81	121.2	289
M <sub>m</sub>	66.71	76.08	-29.8	81.71	339
N <sub>m</sub>	0.01	0.0	0.0	0.0	0
W <sub>m</sub>	95.41	0.0	0.0	0.0	0
R <sub>CIE</sub>	47.79	61.74	42.56	74.99	35
J <sub>CIE</sub>	83.82	7.06	70.78	71.13	84
G <sub>CIE</sub>	49.0	-35.95	4.34	36.22	173
B <sub>CIE</sub>	25.14	-17.24	-56.24	58.84	253

CIELAB-Helligkeit  $L^*$

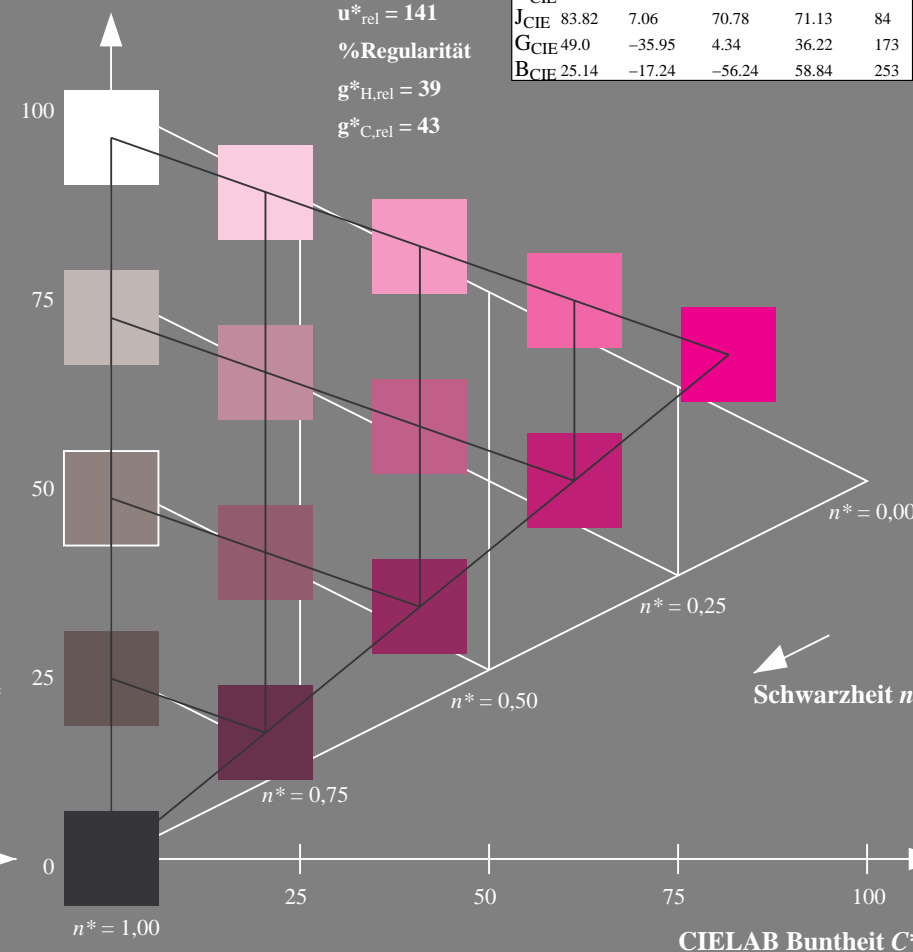
%Umfang

$u^*_{rel} = 141$

%Regularität

$g^*_{H,rel} = 39$

$g^*_{C,rel} = 43$



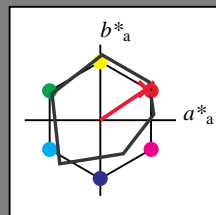
5 stufige Reihen für konstanten CIELAB Buntton  $339/360 = 0.941$  (rechts)

output: no change compared to input

### Eingabe: Farbmimetrisches Offset-Reflektiv-System ORS18

für Buntton  $h^* = lab^*h = 34/360 = 0.095$   
 $lab^*tch$  und  $lab^*nch$

D65: Buntton R  
LCH\*Ma: 49 79 34  
olv\*Ma: 1.0 0.0 0.15



#### ORS18; adaptierte CIELAB-Daten

	$L^*=L_a^*$	$a_a^*$	$b_a^*$	$C_{ab,a}^*$	$h_{ab,a}^*$
O <sub>m</sub>	47.94	64.42	50.58	81.9	38
Y <sub>m</sub>	92.62	2.41	86.36	86.39	88
L <sub>m</sub>	50.9	-63.82	35.02	72.81	151
C <sub>m</sub>	51.25	-53.68	-57.69	78.82	227
V <sub>m</sub>	25.72	30.34	-44.37	53.76	304
M <sub>m</sub>	56.25	70.59	7.57	70.99	6
N <sub>m</sub>	18.11	0.0	0.0	0.0	0
W <sub>m</sub>	95.6	0.0	0.0	0.0	0
R <sub>m</sub>	47.79	60.85	41.08	73.41	34
J <sub>m</sub>	83.82	6.52	66.9	67.22	84
G <sub>m</sub>	49.0	-36.83	2.78	36.95	176
B <sub>m</sub>	25.14	-18.35	-56.22	59.15	252

Dreiecks-Helligkeit  $t^*$

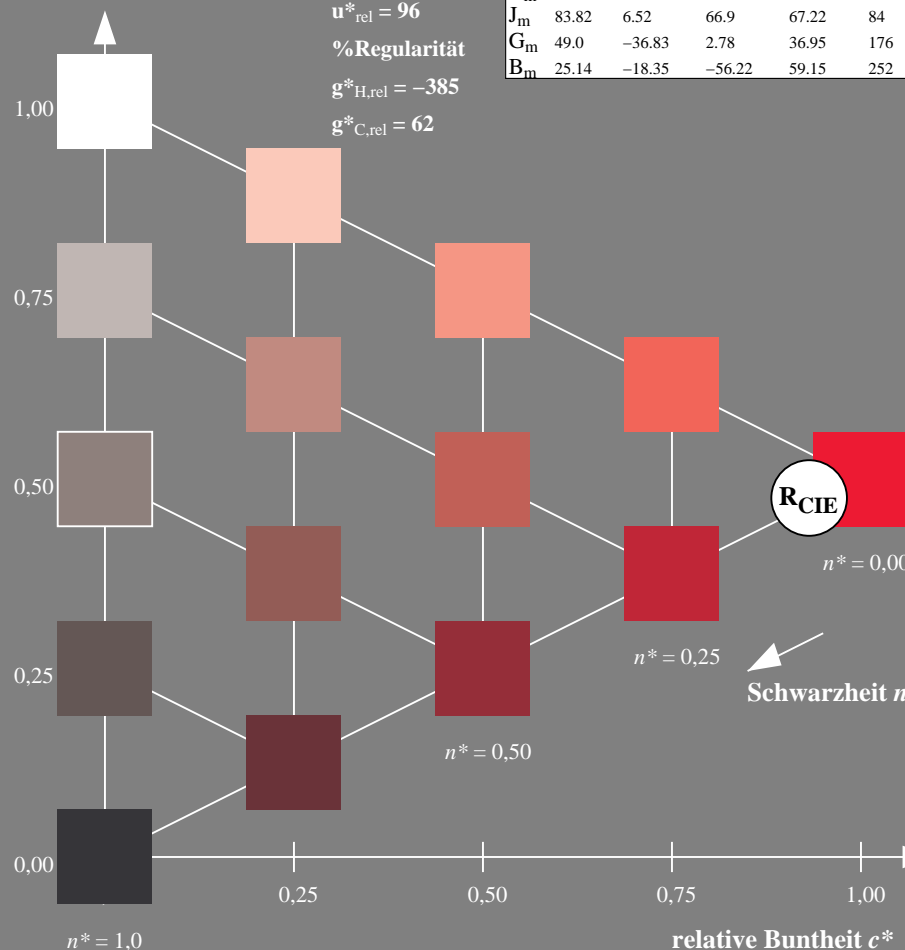
%Umfang

$u_{rel}^* = 96$

%Regularität

$g_{H,rel}^* = -385$

$g_{C,rel}^* = 62$



SG200-7, 5 stufige Reihen für konstanten CIELAB Buntton  $34/360 = 0.095$  (links)

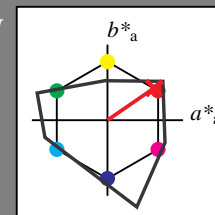
BAM-Prüfvorlage SG20; Farbmimetrik-Systeme ORS18 & TLS00 input:  $cmY0^* setcmykcolor$

A: Koordinatensysteme; 5stufige Farbreihen für 10 Bunttöne

### Ausgabe: Farbmimetrisches Fernseh-Licht-System TLS00

für Buntton  $h^* = lab^*h = 35/360 = 0.096$   
 $LAB^*LCH$ ,  $LAB^*NCH$

D65: Buntton R  
LCH\*Ma: 66 89 35  
olv\*Ma: 1.0 0.0 0.01



#### TLS00; adaptierte CIELAB-Daten

	$L^*=L_a^*$	$a_a^*$	$b_a^*$	$C_{ab,a}^*$	$h_{ab,a}^*$
O <sub>m</sub>	65.56	73.34	51.39	89.55	35
Y <sub>m</sub>	94.78	-3.49	52.24	52.36	94
L <sub>m</sub>	77.48	-92.97	36.0	99.71	159
C <sub>m</sub>	78.36	-82.69	-22.74	85.77	195
V <sub>m</sub>	12.55	38.81	-114.81	121.2	289
M <sub>m</sub>	66.71	76.08	-29.8	81.71	339
N <sub>m</sub>	0.01	0.0	0.0	0.0	0
W <sub>m</sub>	95.41	0.0	0.0	0.0	0
R <sub>m</sub>	47.79	61.74	42.56	74.99	35
J <sub>m</sub>	83.82	7.06	70.78	71.13	84
G <sub>m</sub>	49.0	-35.95	4.34	36.22	173
B <sub>m</sub>	25.14	-17.24	-56.24	58.84	253

CIELAB-Helligkeit  $L^*$

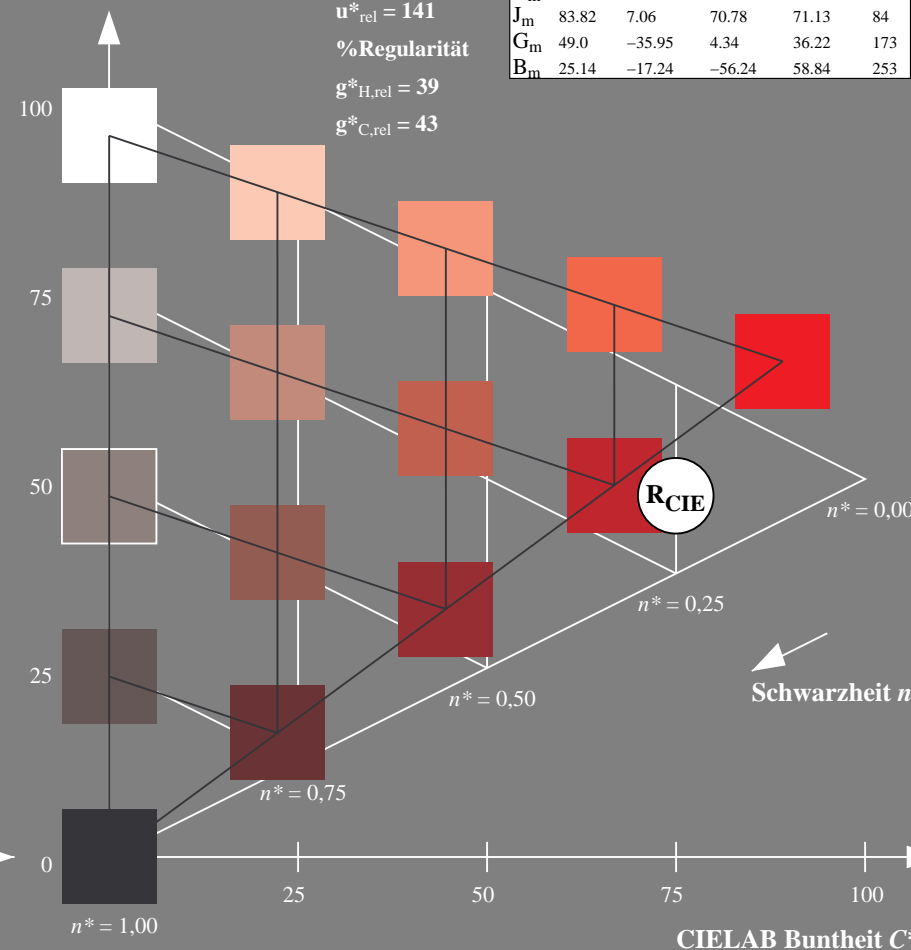
%Umfang

$u_{rel}^* = 141$

%Regularität

$g_{H,rel}^* = 39$

$g_{C,rel}^* = 43$



5 stufige Reihen für konstanten CIELAB Buntton  $35/360 = 0.096$  (rechts)

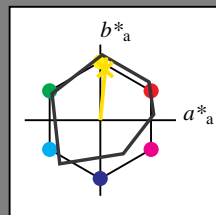
output: no change compared to input



Eingabe: Farbmimetrisches Offset-Reflektiv-System ORS18

für Buntton  $h^* = lab^*h = 84/360 = 0.235$   
 $lab^*tch$  und  $lab^*nch$

D65: Buntton J  
LCH\*Ma: 89 83 84  
olv\*Ma: 1.0 0.91 0.0



ORS18; adaptierte CIELAB-Daten

	$L^*=L^*_a$	$a^*_a$	$b^*_a$	$C^*_{ab,a}$	$h^*_{ab,a}$
O <sub>m</sub>	47.94	64.42	50.58	81.9	38
Y <sub>m</sub>	92.62	2.41	86.36	86.39	88
L <sub>m</sub>	50.9	-63.82	35.02	72.81	151
C <sub>m</sub>	51.25	-53.68	-57.69	78.82	227
V <sub>m</sub>	25.72	30.34	-44.37	53.76	304
M <sub>m</sub>	56.25	70.59	7.57	70.99	6
N <sub>m</sub>	18.11	0.0	0.0	0.0	0
W <sub>m</sub>	95.6	0.0	0.0	0.0	0
R <sub>m</sub>	47.79	60.85	41.08	73.41	34
J <sub>m</sub>	83.82	6.52	66.9	67.22	84
G <sub>m</sub>	49.0	-36.83	2.78	36.95	176
B <sub>m</sub>	25.14	-18.35	-56.22	59.15	252

Dreiecks-Helligkeit  $t^*$

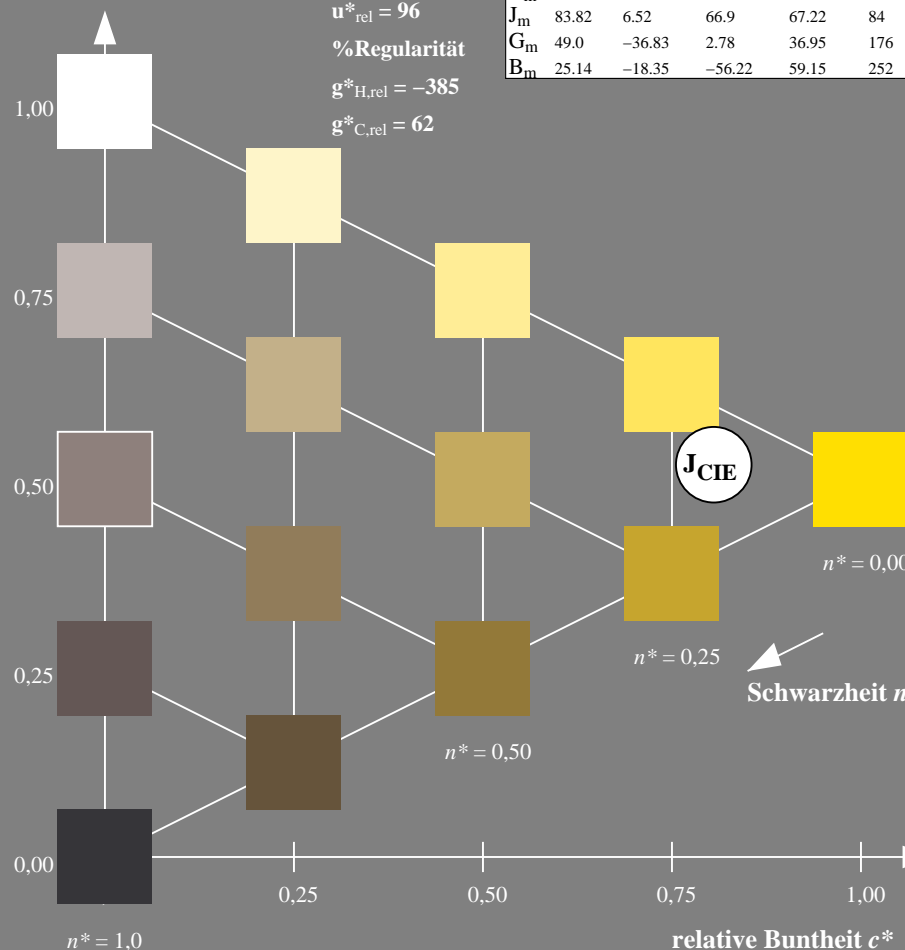
%Umfang

$u^*_{rel} = 96$

%Regularität

$g^*_{H,rel} = -385$

$g^*_{C,rel} = 62$

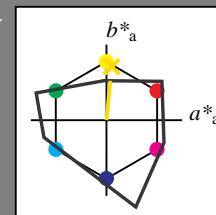


SG200-7, 5 stufige Reihen für konstanten CIELAB Buntton 84/360 = 0.235 (links)

Ausgabe: Farbmimetrisches Fernseh-Licht-System TLS00

für Buntton  $h^* = lab^*h = 84/360 = 0.234$   
 $LAB^*LCH$ ,  $LAB^*NCH$

D65: Buntton J  
LCH\*Ma: 91 52 84  
olv\*Ma: 1.0 0.89 0.0



TLS00; adaptierte CIELAB-Daten

	$L^*=L^*_a$	$a^*_a$	$b^*_a$	$C^*_{ab,a}$	$h^*_{ab,a}$
O <sub>m</sub>	65.56	73.34	51.39	89.55	35
Y <sub>m</sub>	94.78	-3.49	52.24	52.36	94
L <sub>m</sub>	77.48	-92.97	36.0	99.71	159
C <sub>m</sub>	78.36	-82.69	-22.74	85.77	195
V <sub>m</sub>	12.55	38.81	-114.81	121.2	289
M <sub>m</sub>	66.71	76.08	-29.8	81.71	339
N <sub>m</sub>	0.01	0.0	0.0	0.0	0
W <sub>m</sub>	95.41	0.0	0.0	0.0	0
R <sub>m</sub>	47.79	61.74	42.56	74.99	35
J <sub>m</sub>	83.82	7.06	70.78	71.13	84
G <sub>m</sub>	49.0	-35.95	4.34	36.22	173
B <sub>m</sub>	25.14	-17.24	-56.24	58.84	253

CIELAB-Helligkeit  $L^*$

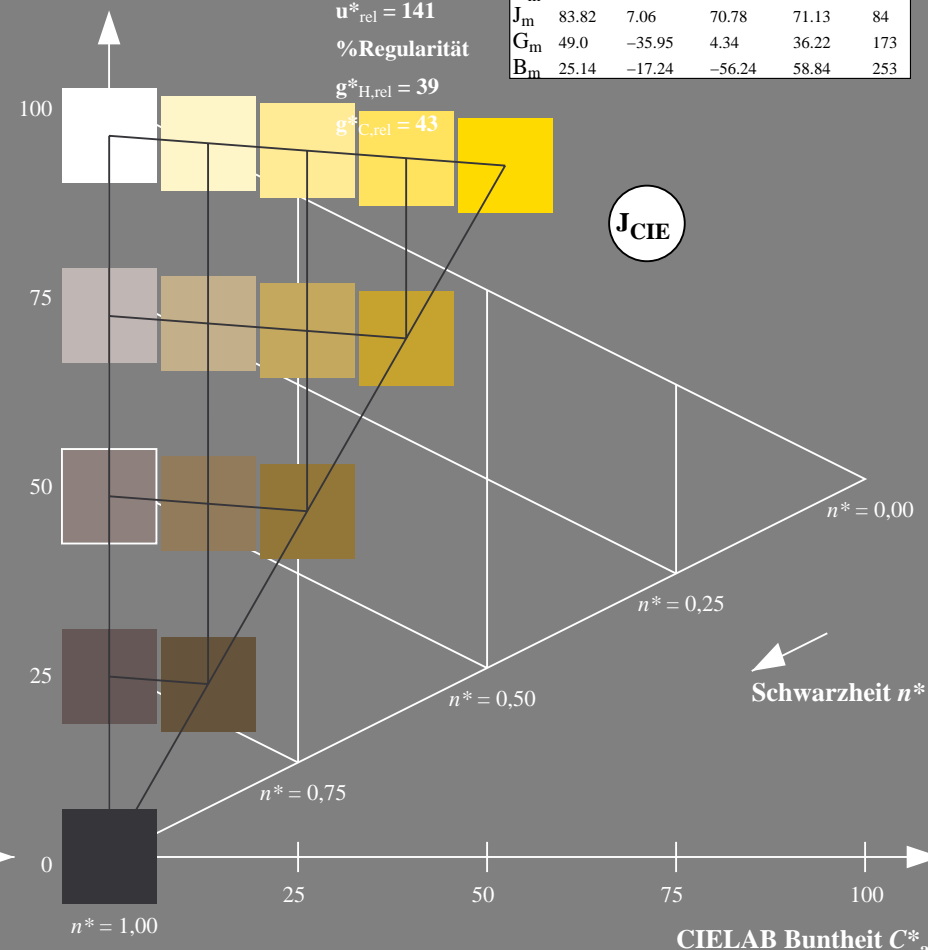
%Umfang

$u^*_{rel} = 141$

%Regularität

$g^*_{H,rel} = 39$

$g^*_{C,rel} = 43$



5 stufige Reihen für konstanten CIELAB Buntton 84/360 = 0.234 (rechts)

BAM-Prüfvorlage SG20; Farbmimetrik-Systeme ORS18 & TLS00 input: *cmY0\* setcmykcolor*

A: Koordinatensysteme; 5stufige Farbreihen für 10 Bunttöne

output: *no change compared to input*



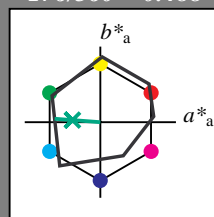
Eingabe: Farbmimetrisches Offset-Reflektiv-System ORS18

für Buntton  $h^* = lab^*h = 176/360 = 0,488$   
 $lab^*tch$  und  $lab^*nch$

D65: Buntton G  
LCH\*Ma: 51 61 176  
olv\*Ma: 0.0 1.0 0.33

ORS18; adaptierte CIELAB-Daten

	$L^*=L^*_a$	$a^*_a$	$b^*_a$	$C^*_{ab,a}$	$h^*_{ab,a}$
O <sub>m</sub>	47.94	64.42	50.58	81.9	38
Y <sub>m</sub>	92.62	2.41	86.36	86.39	88
L <sub>m</sub>	50.9	-63.82	35.02	72.81	151
C <sub>m</sub>	51.25	-53.68	-57.69	78.82	227
V <sub>m</sub>	25.72	30.34	-44.37	53.76	304
M <sub>m</sub>	56.25	70.59	7.57	70.99	6
N <sub>m</sub>	18.11	0.0	0.0	0.0	0
W <sub>m</sub>	95.6	0.0	0.0	0.0	0
R <sub>m</sub>	47.79	60.85	41.08	73.41	34
J <sub>m</sub>	83.82	6.52	66.9	67.22	84
G <sub>m</sub>	49.0	-36.83	2.78	36.95	176
B <sub>m</sub>	25.14	-18.35	-56.22	59.15	252



Dreiecks-Helligkeit  $t^*$

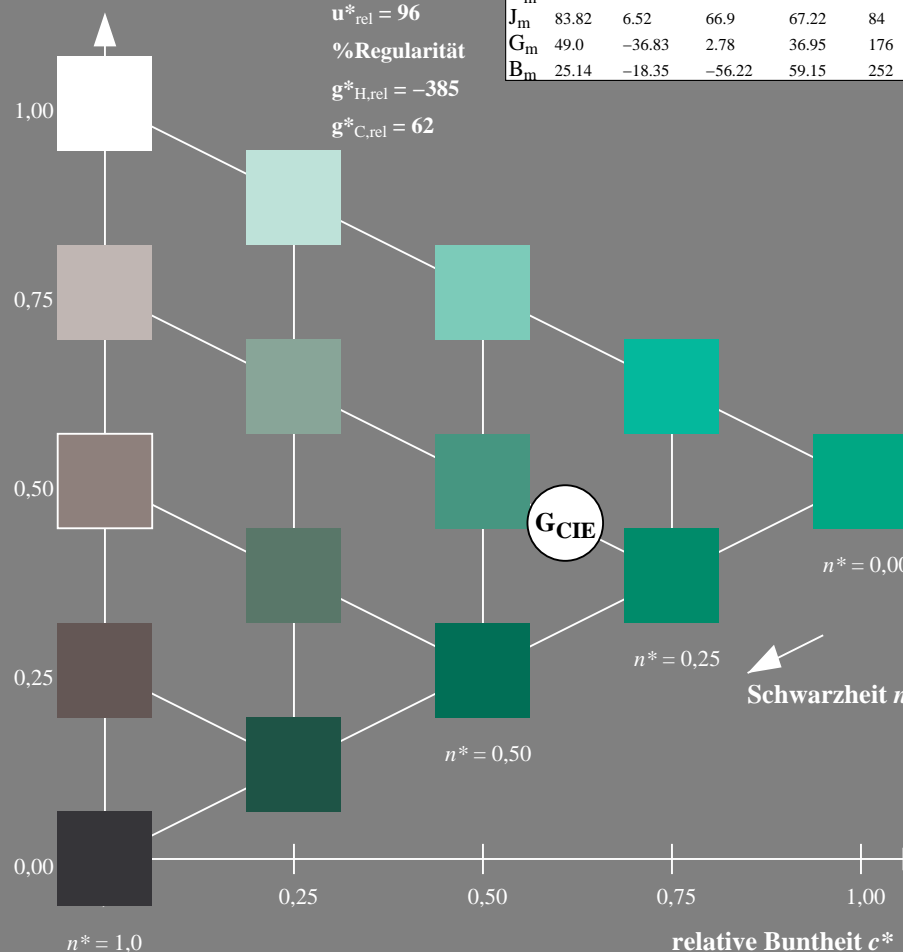
%Umfang

$u^*_{rel} = 96$

%Regularität

$g^*_{H,rel} = -385$

$g^*_{C,rel} = 62$



SG200-7, 5 stufige Reihen für konstanten CIELAB Buntton  $176/360 = 0,488$  (links)

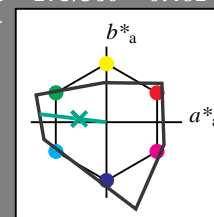
Ausgabe: Farbmimetrisches Fernseh-Licht-System TLS00

für Buntton  $h^* = lab^*h = 173/360 = 0,481$   
 $LAB^*LCH, LAB^*NCH$

D65: Buntton G  
LCH\*Ma: 78 89 173  
olv\*Ma: 0.0 1.0 0.43

TLS00; adaptierte CIELAB-Daten

	$L^*=L^*_a$	$a^*_a$	$b^*_a$	$C^*_{ab,a}$	$h^*_{ab,a}$
O <sub>m</sub>	65.56	73.34	51.39	89.55	35
Y <sub>m</sub>	94.78	-3.49	52.24	52.36	94
L <sub>m</sub>	77.48	-92.97	36.0	99.71	159
C <sub>m</sub>	78.36	-82.69	-22.74	85.77	195
V <sub>m</sub>	12.55	38.81	-114.81	121.2	289
M <sub>m</sub>	66.71	76.08	-29.8	81.71	339
N <sub>m</sub>	0.01	0.0	0.0	0.0	0
W <sub>m</sub>	95.41	0.0	0.0	0.0	0
R <sub>m</sub>	47.79	61.74	42.56	74.99	35
J <sub>m</sub>	83.82	7.06	70.78	71.13	84
G <sub>m</sub>	49.0	-35.95	4.34	36.22	173
B <sub>m</sub>	25.14	-17.24	-56.24	58.84	253



CIELAB-Helligkeit  $L^*$

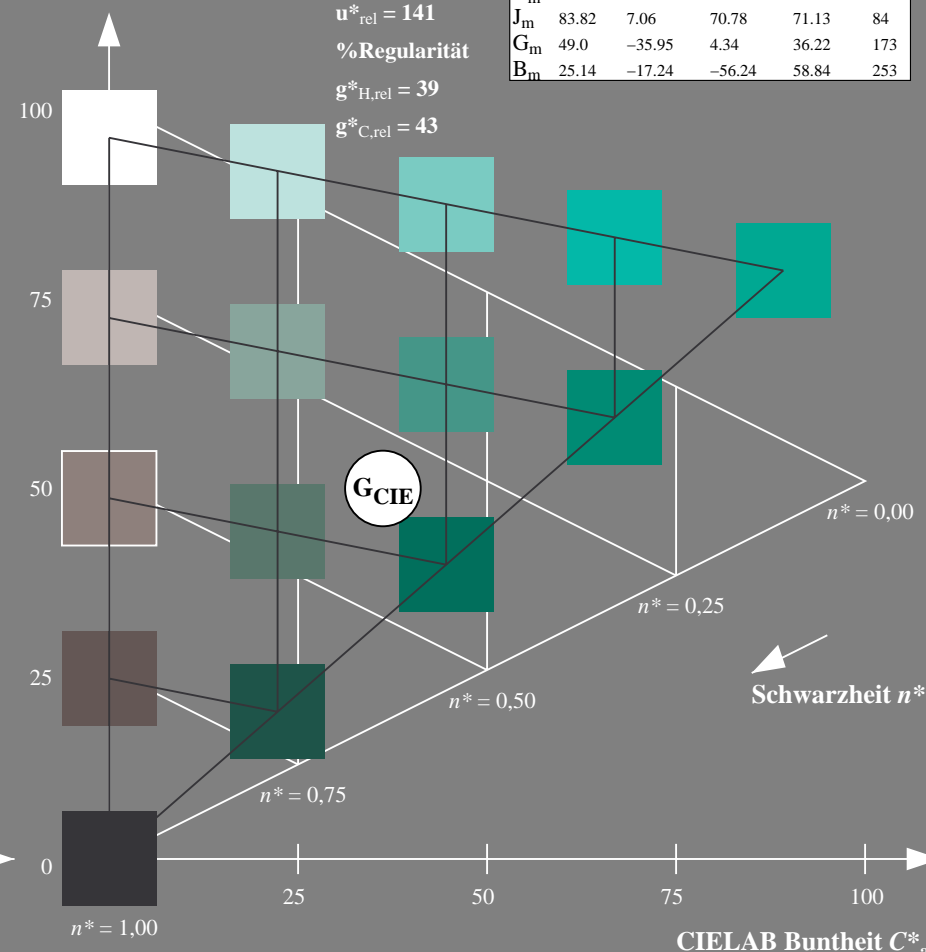
%Umfang

$u^*_{rel} = 141$

%Regularität

$g^*_{H,rel} = 39$

$g^*_{C,rel} = 43$



5 stufige Reihen für konstanten CIELAB Buntton  $173/360 = 0,481$  (rechts)

BAM-Prüfvorlage SG20; Farbmimetrik-Systeme ORS18 & TLS00 input:  $cmY0^* setcmykcolor$

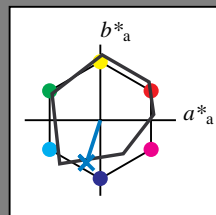
A: Koordinatensysteme; 5stufige Farbreihen für 10 Bunttöne

output: no change compared to input

Eingabe: Farbmetrisches Offset-Reflektiv-System ORS18

für Buntton  $h^* = lab^*h = 252/360 = 0,7$   
 $lab^*tch$  und  $lab^*nch$

D65: Buntton B  
LCH\*Ma: 40 55 252  
olv\*Ma: 0.0 0.56 1.0



ORS18; adaptierte CIELAB-Daten

	$L^*=L^*_a$	$a^*_a$	$b^*_a$	$C^*_{ab,a}$	$h^*_{ab,a}$
O <sub>m</sub>	47.94	64.42	50.58	81.9	38
Y <sub>m</sub>	92.62	2.41	86.36	86.39	88
L <sub>m</sub>	50.9	-63.82	35.02	72.81	151
C <sub>m</sub>	51.25	-53.68	-57.69	78.82	227
V <sub>m</sub>	25.72	30.34	-44.37	53.76	304
M <sub>m</sub>	56.25	70.59	7.57	70.99	6
N <sub>m</sub>	18.11	0.0	0.0	0.0	0
W <sub>m</sub>	95.6	0.0	0.0	0.0	0
R <sub>m</sub>	47.79	60.85	41.08	73.41	34
J <sub>m</sub>	83.82	6.52	66.9	67.22	84
G <sub>m</sub>	49.0	-36.83	2.78	36.95	176
B <sub>m</sub>	25.14	-18.35	-56.22	59.15	252

Dreiecks-Helligkeit  $t^*$

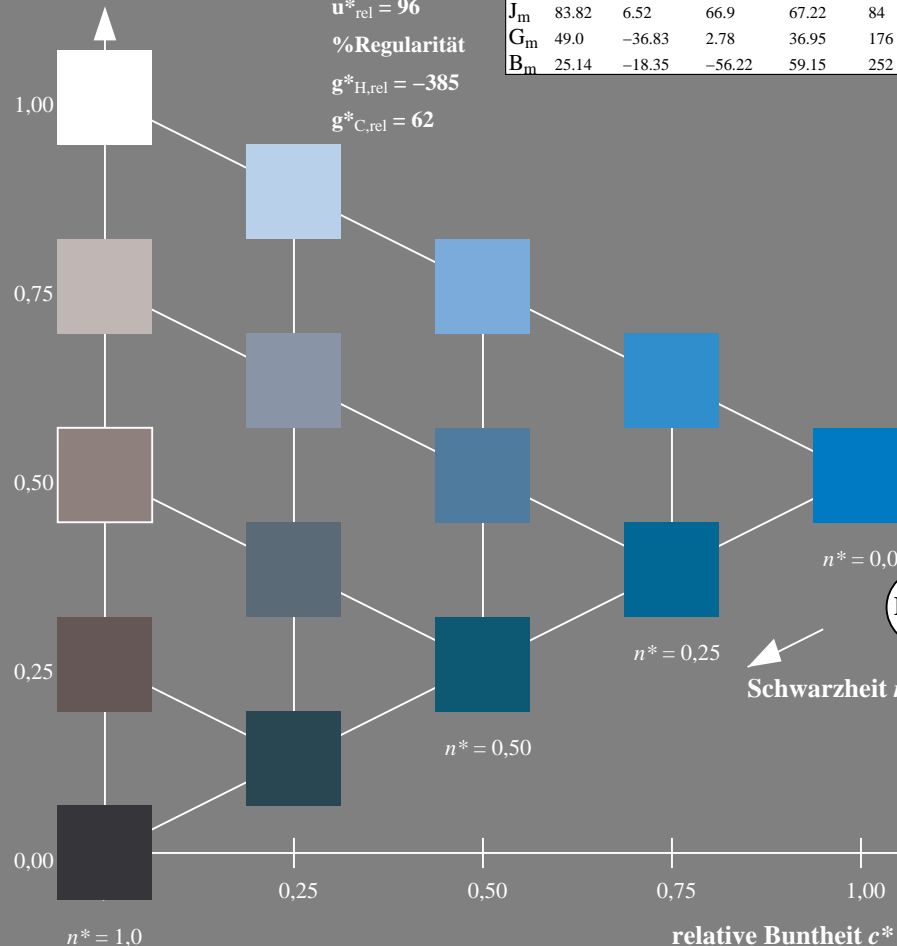
%Umfang

$u^*_{rel} = 96$

%Regularität

$g^*_{H,rel} = -385$

$g^*_{C,rel} = 62$

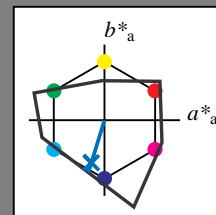


SG200-7, 5 stufige Reihen für konstanten CIELAB Buntton 252/360 = 0.7 (links)

Ausgabe: Farbmetrisches Fernseh-Licht-System TLS00

für Buntton  $h^* = lab^*h = 253/360 = 0,703$   
 $LAB^*LCH, LAB^*NCH$

D65: Buntton B  
LCH\*Ma: 45 72 253  
olv\*Ma: 0.0 0.49 1.0



TLS00; adaptierte CIELAB-Daten

	$L^*=L^*_a$	$a^*_a$	$b^*_a$	$C^*_{ab,a}$	$h^*_{ab,a}$
O <sub>m</sub>	65.56	73.34	51.39	89.55	35
Y <sub>m</sub>	94.78	-3.49	52.24	52.36	94
L <sub>m</sub>	77.48	-92.97	36.0	99.71	159
C <sub>m</sub>	78.36	-82.69	-22.74	85.77	195
V <sub>m</sub>	12.55	38.81	-114.81	121.2	289
M <sub>m</sub>	66.71	76.08	-29.8	81.71	339
N <sub>m</sub>	0.01	0.0	0.0	0.0	0
W <sub>m</sub>	95.41	0.0	0.0	0.0	0
R <sub>m</sub>	47.79	61.74	42.56	74.99	35
J <sub>m</sub>	83.82	7.06	70.78	71.13	84
G <sub>m</sub>	49.0	-35.95	4.34	36.22	173
B <sub>m</sub>	25.14	-17.24	-56.24	58.84	253

CIELAB-Helligkeit  $L^*$

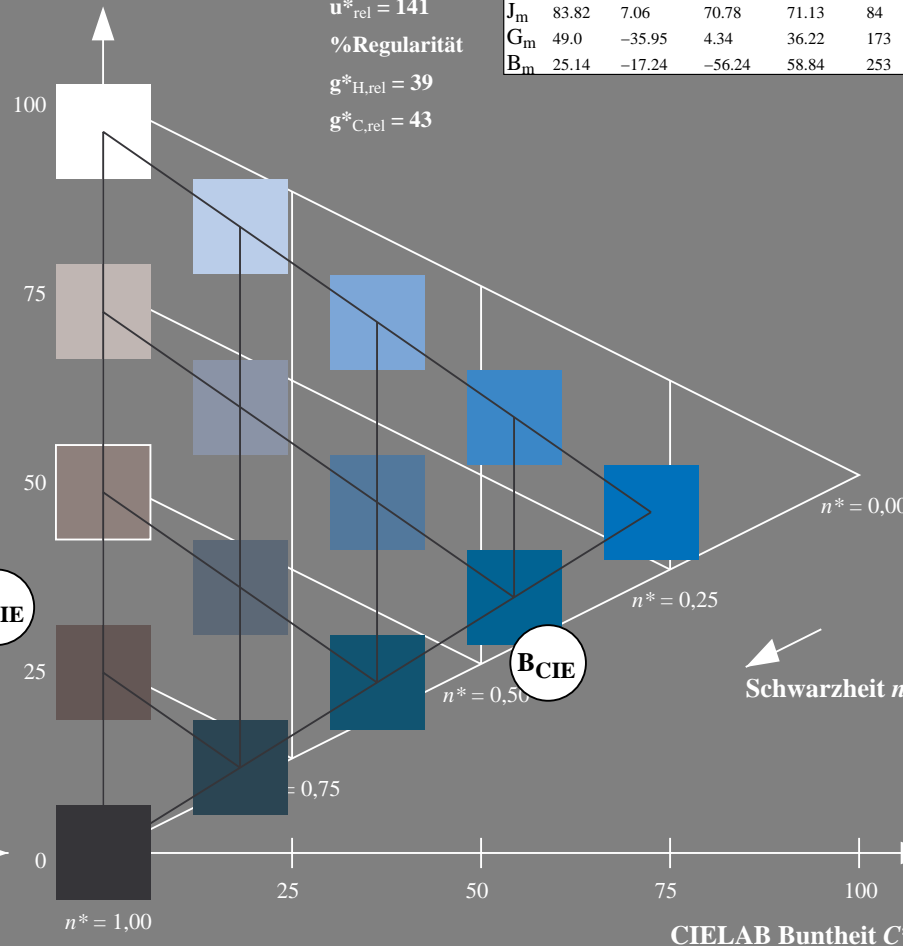
%Umfang

$u^*_{rel} = 141$

%Regularität

$g^*_{H,rel} = 39$

$g^*_{C,rel} = 43$



5 stufige Reihen für konstanten CIELAB Buntton 253/360 = 0.703 (rechts)

BAM-Prüfvorlage SG20; Farbmetrik-Systeme ORS18 & TLS00 input:  $cmY0^* setcmykcolor$

A: Koordinatensysteme; 5stufige Farbreihen für 10 Bunttöne

output: no change compared to input